

А. А. Лопатьев, А. Е. Хило

**РАСЧЕТ ВОЛНОВЫХ ПОЛЕЙ В МНОГОСЛОЙНОЙ СРЕДЕ  
ПРИ НОРМАЛЬНОМ ПАДЕНИИ НЕСТАЦИОНАРНОГО ВОЗМУЩЕНИЯ**

Вопросы вычисления коэффициентов отражения и преломления импульсов в идеальноупругих слоистых средах представляют интерес для акустики и сейсмологии. Несмотря на то что получение формальных решений для осесимметричных сред не представляет принципиальных трудностей, аналитических выражений коэффициентов отражения и преломления даже для нескольких слоев практически не имеется. В основном разработаны приближенные и численные методы решения задач о распространении волн в многослойных средах. Важное место здесь занимают лучевые методы [2—4]. В работе [1] решена задача о нормальном распространении импульса в многослойной среде в изображениях Лапласа, а переход в пространство оригиналов осуществлен численными методами.

В данной работе рассмотрено распространение плоского нестационарного возмущения в многослойной среде. Записаны аналитические выражения характеристик волнового поля для системы, состоящей из двух полупространств, сопряженных тремя слоями, что позволило сравнительно просто рассчитать и сравнить между собой некоторые конкретные модели.

Рассмотрим систему, состоящую из двух полупространств  $(0, n+1)$ , сопряженных  $n$  упругими слоями  $(1, 2, \dots, n)$ . Считаем, что декартова координата  $z$  отсчитывается от границы верхнего полупространства в сторону упругих слоев.

Пусть из верхнего полупространства нормально к границам раздела распространяется плоская волна, которая задается бегущим  $\delta$ -импульсом. Запишем аналитические выражения для поля напряжений в произвольной точке среды. В качестве основных неизвестных выбираем нормальные напряжения  $\sigma_i$  ( $i = 0, 1, 2, \dots, n+1$ ), удовлетворяющие волновым уравнениям

$$\frac{\partial^2 \sigma_i}{\partial z^2} = \frac{1}{c_i^2} \frac{\partial^2 \sigma_i}{\partial t^2} \quad (i = 0, 1, 2, \dots, n+1). \quad (1)$$

На границах раздела  $z = 0, H_1, H_1 + H_2, \dots, H_1 + H_2 + \dots + H_n$  требуем непрерывности изменения напряжений и ускорений:

$$\begin{aligned} \sigma_1 &= \sigma_0 + \sigma_{\text{пад}}, \quad \frac{1}{\rho_1} \frac{\partial \sigma_1}{\partial z} = \frac{1}{\rho_0} \frac{\partial (\sigma_0 + \sigma_{\text{пад}})}{\partial z}, \quad z = 0, \\ \sigma_{i+1} &= \sigma_i, \quad \frac{1}{\rho_{i+1}} \frac{\partial \sigma_{i+1}}{\partial z} = \frac{1}{\rho_i} \frac{\partial \sigma_i}{\partial z} \quad (i = 1, 2, \dots, n), \\ z &= H_1 + \dots + H_i. \end{aligned} \quad (2)$$

Начальные условия предполагаем нулевыми:

$$\sigma_i = 0, \quad \frac{\partial \sigma_i}{\partial t} = 0 \quad \text{при } t = 0 \quad (i = 0, 1, 2, \dots, n+1). \quad (3)$$

Для определения напряжений  $\sigma_0, \sigma_1, \sigma_2, \dots, \sigma_{n+1}$  имеем систему волновых уравнений (1) с граничными и начальными условиями (2), (3), которые в безразмерных координатах

$$\tau = \frac{c_n}{H_n} t, \quad \gamma = \frac{z}{H_n}, \quad \kappa_i = \frac{c_n}{c_i}, \quad h_i = \frac{H_i}{H_n} \quad (i = 0, 1, 2, \dots, n+1)$$

для падающего  $\delta$ -образного импульса  $\sigma_{\text{пад}} = \delta(\tau - \kappa_0 \gamma)$  запишутся в виде

$$\frac{\partial^2 \sigma_i}{\partial \gamma^2} = \kappa_i^2 \frac{\partial^2 \sigma_i}{\partial \tau^2}; \quad (4)$$

$$\sigma_1 = \sigma_0 + \delta(\tau), \quad \frac{1}{\rho_1} \frac{\partial \sigma_1}{\partial \gamma} = \frac{1}{\rho_0} \frac{\partial \sigma_0}{\partial \gamma} - \frac{\kappa_0}{\rho} \delta'(\tau), \quad \gamma=0. \quad (5)$$

$$\sigma_{i+1} = \sigma_i, \quad \frac{1}{\rho_{i+1}} \frac{\partial \sigma_{i+1}}{\partial \gamma} = \frac{1}{\rho_i} \frac{\partial \sigma_i}{\partial \gamma} \quad (i = 1, 2, \dots, n), \quad \gamma = h_1 + \dots + h_i;$$

$$\sigma_i = 0, \quad \frac{\partial \sigma_i}{\partial \tau} = 0 \quad (i = 0, 1, \dots, n+1), \quad \tau = 0, \quad (6)$$

где  $\rho_0, \rho_1, \rho_2, \dots, \rho_n, \rho_{n+1}$  — плотности полупространств и слоев;  $c_0, c_1, c_2, \dots, c_n, c_{n+1}$  — скорости распространения продольных волн;  $H_1, H_2, \dots, H_n$  — толщины слоев.

Применяя к уравнениям (4) и краевым условиям (5), (6) преобразование Лапласа по времени  $\tau$ , получаем систему обыкновенных дифференциальных уравнений на трансформанты

$$\sigma_i^L(\gamma, s) = \int_0^\infty \sigma_i(\gamma, \tau) e^{-s\tau} d\tau,$$

решение которой выбираем в виде

$$\sigma_0^L = B_0 e^{s\kappa_0 \gamma}; \quad \sigma_{n+1}^L = A_{n+1} e^{-s\kappa_{n+1}(\gamma - h_1 - \dots - h_n)},$$

$$\sigma_i = A_i e^{-s\kappa_i(\gamma - h_1 - \dots - h_i)} + B_i e^{s\kappa_i(\gamma - h_1 - \dots - h_i)} \quad (i = 1, 2, \dots, n). \quad (7)$$

При этом учтено, что в нижнем полупространстве от границы  $\gamma = h_1 + h_2 + \dots + h_n$  распространяется импульс только в положительном направлении оси  $\gamma$ .

Коэффициенты  $A_i, B_i$  определяются из алгебраической системы уравнений, получаемой при удовлетворении граничным условиям. Определяя из системы коэффициент  $B_0$ , получаем

$$\sigma_0^L(\gamma, s) = V_0 \frac{1 + \frac{\rho_1}{V_0} e^{-2s\kappa_1 h_1}}{1 + V_0 \rho_1 e^{-2s\kappa_1 h_1}} e^{s\kappa_0 \gamma},$$

$$\rho_i = V_i \frac{1 + \frac{\rho_{i+1}}{V_i} e^{-2s\kappa_{i+1} h_{i+1}}}{1 + V_i \rho_{i+1} e^{-2s\kappa_{i+1} h_{i+1}}} \quad (i = 1, \dots, n-1), \quad \rho_n = V_n.$$

В случае трех слоев, граничащих с двумя полупространствами,

$$B_0 = V_0 \frac{1 + \frac{V_2}{V_1} \frac{1 + V_3/V_2 e^{-2s}}{1 + V_2 V_3 e^{-2s}} e^{-2s\kappa_2 h_2}}{1 + V_0 V_1 \frac{1 + \frac{V_2}{V_1} \frac{1 + V_3/V_2 e^{-2s}}{1 + V_2 V_3 e^{-2s}} e^{-2s\kappa_2 h_2}}{1 + V_1 V_2 \frac{1 + V_3/V_2 e^{-2s}}{1 + V_2 V_3 e^{-2s}} e^{-2s\kappa_2 h_2}}} e^{-2s\kappa_1 h_1}}{1 + V_0 V_1 \frac{1 + \frac{V_2}{V_1} \frac{1 + V_3/V_2 e^{-2s}}{1 + V_2 V_3 e^{-2s}} e^{-2s\kappa_2 h_2}}{1 + V_1 V_2 \frac{1 + V_3/V_2 e^{-2s}}{1 + V_2 V_3 e^{-2s}} e^{-2s\kappa_2 h_2}}} e^{-2s\kappa_1 h_1}}. \quad (9)$$

Здесь  $V_i = \frac{\rho_{i+1} c_{i+1} - \rho_i c_i}{\rho_{i+1} c_{i+1} + \rho_i c_i}$  — коэффициенты отражения.

Представляя теперь  $\sigma_0^L(\gamma, s)$  для трехслойной модели в виде

$$\sigma_0^L(\gamma, s) = \left\langle V_0 + (1 - V_0^2) \sum_{n=1}^{\infty} (-V_0)^{n-1} \left\{ V_1 + (1 - V_1^2) \sum_{m=1}^{\infty} (-V_1)^{m-1} \left[ V_2 + \right. \right. \right.$$

$$\left. \left. + (1 - V_2^2) \sum_{k=1}^{\infty} (-V_2)^{k-1} V_3^k e^{-2sk} \right]^m e^{-2sm\kappa_2 h_2} \right\}^n e^{-2sn\kappa_1 h_1} \right\rangle e^{s\kappa_0 \gamma} \quad (10)$$

и возвращаясь в пространство оригиналов, получаем

$$\begin{aligned} \sigma_0(\gamma, \tau) = & V_0 \delta(\tau + \kappa_0 \gamma) + (1 - V_0^2) \sum_{n=1}^{\infty} (-V_0)^{n-1} \times \\ & \times \sum_{r=0}^n C_n^r V_1^{n-r} (1 - V_1^2)^r \sum_{m_1=1}^{\infty} \cdots \sum_{m_r=1}^{\infty} (-V_1)^{m_1 + \cdots + m_r - r} \times \\ & \times \sum_{q_1=0}^{m_1} C_{m_1}^{q_1} V_2^{m_1 - q_1} (1 - V_2^2)^{q_1} V_3^{q_1} \sum_{k_1=1}^{\infty} \cdots \sum_{k_{q_1}=1}^{\infty} (-V_2 V_3)^{k_1 + \cdots + k_{q_1} - q_1} \cdots \\ & \cdots \sum_{q_r=0}^{m_r} C_{m_r}^{q_r} V_2^{m_r - q_r} (1 - V_2^2)^{q_r} V_3^{q_r} \sum_{i_1=1}^{\infty} \cdots \sum_{i_{q_r}=1}^{\infty} (-V_2 V_3)^{i_1 + \cdots + i_{q_r} - q_r} \times \\ & \times \delta(\tau + \kappa_0 \gamma - 2K - 2M\kappa_2 h_2 - 2n\kappa_1 h_1), \end{aligned} \quad (11)$$

где  $K = k_1 + \cdots + k_{q_1} + \cdots + i_1 + \cdots + i_{q_r}$ ;  $M = m_1 + \cdots + m_r$ ;

$$C_j^i = \frac{j!}{(j-i)! i!}.$$

Выражение (11) позволяет определить напряжение в любой точке полупространства  $\gamma \leq 0$  в любой момент времени, в частности на границе. Первый член в формуле (11) дает отражение сигнала от границы раздела  $\gamma = 0$  с коэффициентом отражения  $V_0$ , вклад границ  $h_1$ ,  $h_1 + h_2$ ,  $h_1 + h_2 + 1$  учитывается во втором слагаемом.

Используя выражение (11), несложно записать формулу для напряжения в случае двух упругих слоев, лежащих между двумя полупространствами:

$$\begin{aligned} \sigma_0(\gamma, \tau) = & V_0 \delta(\tau + \kappa_0 \gamma) + (1 - V_0^2) \sum_{n=1}^{\infty} (-V_0)^{n-1} \sum_{q=0}^n C_n^q V_2^{n-q} \times \\ & \times (1 - V_2^2)^q V_3^q \sum_{k_1=1}^{\infty} \cdots \sum_{k_q=1}^{\infty} (-V_2 V_3)^{k_1 + \cdots + k_q - q} \times \\ & \times \delta[\tau + \kappa_0 \gamma - 2(k_1 + \cdots + k_q) - 2nh^1 \kappa^1], \end{aligned} \quad (12)$$

где  $h^1 \kappa^1 = h_1 \kappa_1 + h_2 \kappa_2$  и принято также, что  $V_1 = 0$ .

В случае одного слоя, заключенного между двумя полупространствами, полагая  $V_1 = V_2 = 0$  и обозначая  $h\kappa = h_1 \kappa_1 + h_2 \kappa_2 + 1$ , получаем

$$\sigma_0(\gamma, \tau) = V_0 \delta(\tau + \kappa_0 \gamma) + (1 - V_0^2) \sum_{n=1}^{\infty} (-V_0)^{n-1} V_3^n \delta(\tau + \kappa_0 \gamma - 2nh\kappa). \quad (13)$$

Когда возмущение является произвольной функцией времени, решение соответствующей краевой задачи может быть записано исходя из формул (11) — (13). Так, в случае синусоиды конечной длительности

$$\sigma(\tau) = \sin \omega \tau [S(\tau) - S(\tau - \tau_0)], \quad (14)$$

где  $\omega = \Omega \frac{H_3}{c_3}$  — безразмерная частота;  $\tau_0$  — продолжительность действия возмущения;  $S(\tau)$ ,  $S(\tau - \tau_0)$  — функции Хевисайда, решение для случая трех слоев запишется в виде

$$\begin{aligned} \sigma_0^1(\gamma, \tau) = & V_0 [S(\tau + \kappa_0 \gamma) - S(\tau + \kappa_0 \gamma - \tau_0)] \sin \omega(\tau + \kappa_0 \gamma) + \\ & + (1 - V_0^2) \sum_{n=1}^n (-V_0)^{n-1} \sum_{r=0}^n C_n^r V_1^{n-r} (1 - V_1^2)^r \sum_{m_1=1}^{\infty} \cdots \sum_{m_r=1}^{\infty} (-V_1)^{m_1 + \cdots + m_r - r} \times \\ & \times \sum_{q_1=0}^{m_1} C_{m_1}^{q_1} V_2^{m_1 - q_1} (1 - V_2^2)^{q_1} V_3^{q_1} \sum_{k_1=1}^{\infty} \cdots \sum_{k_{q_1}=1}^{\infty} (-V_2 V_3)^{k_1 + \cdots + k_{q_1} - q_1} \cdots \\ & \cdots \sum_{q_r=0}^{m_r} C_{m_r}^{q_r} V_2^{m_r - q_r} (1 - V_2^2)^{q_r} V_3^{q_r} \sum_{i_1=1}^{\infty} \cdots \sum_{i_{q_r}=1}^{\infty} (-V_2 V_3)^{i_1 + \cdots + i_{q_r} - q_r} \times \end{aligned}$$

$$\times |S(\tau + \kappa_0\gamma - 2K - 2M\kappa_2h_2 - 2n\kappa_1h_1) - S(\tau + \kappa_0\gamma - 2K - 2M\kappa_2h_2 - 2n\kappa_1h_1 - \tau_0)| \sin \omega(\tau + \kappa_0\gamma - 2K - 2M\kappa_2h_2 - 2n\kappa_1h_1), \quad (15)$$

в случае двух слоев —

$$\begin{aligned} \sigma_0^1(\gamma, \tau) = & V_0 [S(\tau + \kappa_0\gamma) - S(\tau + \kappa_0\gamma - \tau_0)] \sin \omega(\tau + \kappa_0\gamma) + \\ & + (1 - V_0^2) \sum_{n=1}^{\infty} (-V_0)^{n-1} \sum_{q=0}^n C_n^q V_2^{n-q} (1 - V_2^2)^q V_3^q \times \\ & \times \sum_{k_1=1}^{\infty} \dots \sum_{k_q=1}^{\infty} (-V_2V_3)^{k_1+\dots+k_q-q} \{S[\tau + \kappa_0\gamma - 2(k_1 + \dots + k_q) - \\ & - 2nh^1\kappa^1] - S[\tau + \kappa_0\gamma - 2(k_1 + \dots + k_q) - 2nh^1\kappa^1 - \tau_0]\} \times \\ & \times \sin \omega[\tau + \kappa_0\gamma - 2(k_1 + \dots + k_q) - 2nh^1\kappa^1] \end{aligned} \quad (16)$$

и в случае одного слоя —

$$\begin{aligned} \sigma_0^1(\gamma, \tau) = & V_0 [S(\tau + \kappa_0\gamma) - S(\tau + \kappa_0\gamma - \tau_0)] \sin \omega(\tau + \kappa_0\gamma) + \\ & + (1 - V_0^2) \sum_{n=1}^{\infty} (-V_0)^{n-1} V_3^n |S(\tau + \kappa_0\gamma - 2nh\kappa) - \\ & - S(\tau + \kappa_0\gamma - 2nh\kappa - \tau_0)| \sin \omega(\tau + \kappa_0\gamma - 2nh\kappa). \end{aligned} \quad (17)$$

Рассмотрим случай падения плоской волны  $\sigma_{\text{пад}} = \delta(\tau + \kappa_4\gamma)$  из нижнего полупространства. В этом случае на границах раздела необходимо удовлетворить следующим условиям:

$$\sigma_{i+1} = \sigma_i, \quad \frac{1}{\rho_{i+1}} \frac{\partial \sigma_{i+1}}{\partial \gamma} = \frac{1}{\rho_i} \frac{\partial \sigma_i}{\partial \gamma} \quad (i = 0, 1, 2), \quad \gamma = h_1\delta_{i1} + (h_1 + h_2)\delta_{i2}, \quad (18)$$

$$\sigma_4 + \sigma_{\text{пад}} = \sigma_3, \quad \frac{1}{\rho_4} \frac{\partial (\sigma_4 + \sigma_{\text{пад}})}{\partial \gamma} = \frac{1}{\rho_3} \frac{\partial \sigma_3}{\partial \gamma}, \quad \gamma = h_1 + h_2 + 1.$$

Начальные условия предполагаем нулевыми:

$$\sigma_i = 0, \quad \frac{\partial \sigma_i}{\partial \tau} = 0 \quad (i = 0, 1, 2, 3, 4), \quad \tau = 0. \quad (19)$$

В этом случае для  $\sigma_0^L(\gamma, s)$  имеем

$$\sigma_0^L = \frac{e^{-s(\kappa_1h_1 + \kappa_2h_2 + 1)}}{1 + V_0V_1e^{-2s\kappa_1h_1}} \frac{(1 - V_1)(1 - V_2)(1 - V_3)e^{s\kappa_0\gamma}}{1 + V_1V_2 \frac{1 - V_0/V_1e^{-2s\kappa_1h_1}}{1 + V_0V_1e^{-2s\kappa_1h_1}} e^{-2s\kappa_2h_2}} \cdot \frac{1 - \frac{V_1}{V_2} \frac{1 - V_0/V_1e^{-2s\kappa_1h_1}}{1 + V_0V_1e^{-2s\kappa_1h_1}} e^{-2s\kappa_2h_2}}{1 + V_2V_3 \frac{1 - V_0/V_1e^{-2s\kappa_1h_1}}{1 + V_0V_1e^{-2s\kappa_1h_1}} e^{-2s\kappa_2h_2}} e^{-2s} \quad (20)$$

В пространстве оригиналов для начального возмущения вида (14) получаем

$$\begin{aligned} \sigma_0(\gamma, \tau) = & (1 - V_1)(1 - V_2)(1 - V_3) \sum_{b=0}^{\infty} (-V_0V_1)^b \sum_{f=0}^{\infty} (-V_2)^f \times \\ & \times \sum_{d=0}^f C_f^d V_1^{f-d} (1 - V_1^2)^d V_2^d \sum_{l_1=1}^{\infty} \dots \sum_{l_d=1}^{\infty} (-V_0V_1)^{l_1+\dots+l_d-d} \times \\ & \times \sum_{n=0}^{\infty} V_3^n \sum_{r=0}^n C_n^r V_2^{n-r} (1 - V_2^2)^r \sum_{m_1=1}^{\infty} \dots \sum_{m_r=1}^{\infty} (-V_2)^{m_1+\dots+m_r-r} \times \end{aligned}$$

$$\begin{aligned} & \times \sum_{q_1=0}^{m_1} C_{m_1}^{q_1} V_1^{m_1-q_1} (1-V_1^2)^{q_1} V_0^{q_1} \sum_{k_1=1}^{\infty} \dots \sum_{k_{q_1}=1}^{\infty} (-V_0 V_1)^{k_1+\dots+k_{q_1}-q_1} \dots \\ & \dots \sum_{q_r=1}^{m_r} C_{m_r}^{q_r} V_1^{m_r-q_r} (1-V_1^2)^{q_r} V_0^{q_r} \sum_{i_1=1}^{\infty} \dots \sum_{i_{q_r}=1}^{\infty} (-V_0 V_1)^{i_1+\dots+i_{q_r}-q_r} \times \\ & \times [S(\tau + \kappa_0 \gamma - 2K^* \kappa_1 h_1 - 2M^* \kappa_2 h_2 - 2n) - S(\tau + \kappa_0 \gamma - 2K^* \kappa_1 h_1 - \\ & - 2M^* \kappa_2 h_2 - 2n - \tau_0)] \sin \omega(\tau + \kappa_0 \gamma - 2K^* \kappa_1 h_1 - 2M^* \kappa_2 h_2 - 2n), \quad (21) \end{aligned}$$

где  $K^* = K + b + l_1 + \dots + l_d + \frac{1}{2}$ ;  $M^* = M + f + \frac{1}{2}$ .

Из полученных аналитических выражений рассчитаны величины амплитуд отраженных волн в некоторых конкретных моделях. Для основной (эталонной) модели (см. таблицу) мощностью 45 км подсчитаны амплитуды отраженных волн в случае одного, двух и трех слоев с целью выявления влияния каждого слоя в отдельности. Упругие параметры для всех моделей приведены в таблице. Параметры синусоидального возмущения  $\tau_0 = 0,5$ ,  $\omega = 4\pi$ .

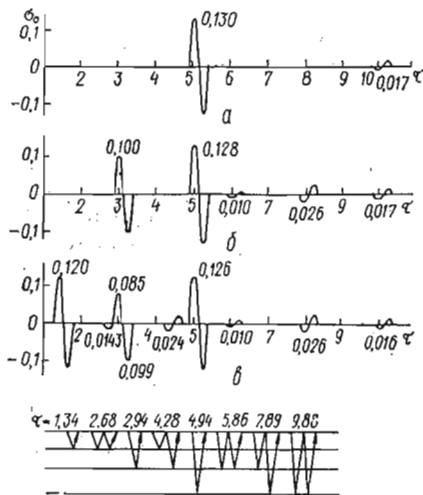


Рис. 1

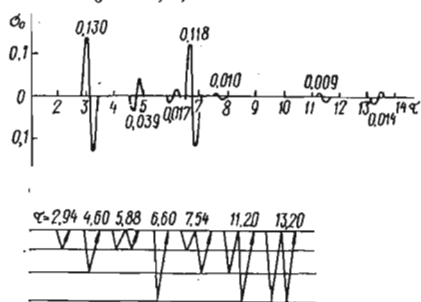


Рис. 2

На рис. 1—6 показаны относительные амплитуды отраженных и проходящих сигналов для различных моделей, причем по оси абсцисс отложено безразмерное время  $\tau$ , а по оси ординат — нормальное напряжение  $\sigma_0^1$ . Под графиками схематически представлены пути прохождения всевозможных отраженных и преломленных волн.

На рис. 1, а—в изображены относительные амплитуды сигналов, отраженных от границ раздела в случае одного,

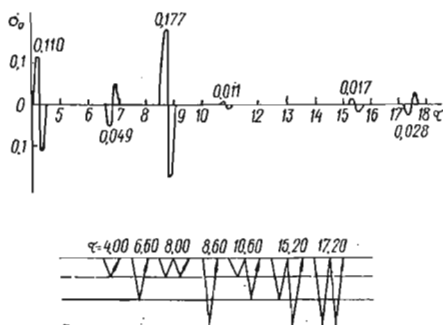


Рис. 3

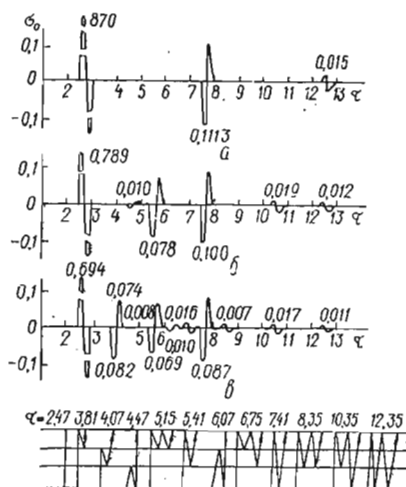


Рис. 4

Модель	Параметр										
	$H_1$ , км	$H_2$ , км	$H_3$ , км	$\rho_{11}$ , г/см <sup>3</sup>	$\rho_{21}$ , г/см <sup>3</sup>	$\rho_{22}$ , г/см <sup>3</sup>	$\rho_{41}$ , г/см <sup>3</sup>	$c_1$ , км/с	$c_2$ , км/с	$c_{22}$ , км/с	$c_4$ , км/с
Рис. 1, а	—	—	45	—	—	2,80	3,30	—	—	6,4	8,1
Рис. 1, б	—	25	20	—	2,75	2,90	3,30	—	6,0	7,0	8,1
Рис. 1, в	10	15	20	2,60	2,75	2,90	3,30	5,0	6,0	7,0	8,1
Рис. 2	10	7	8	2,60	2,65	2,65	2,90	5,0	6,2	5,9	7,0
Рис. 3	12	9	6	2,70	2,90	2,90	3,30	6,0	7,0	6,4	8,1

двух и трех слоев, лежащих на упругом основании (амплитуда сигнала, прошедшего через поверхность  $\gamma = 0$ , принята за единицу).

Были подсчитаны также амплитуды отраженных сигналов в моделях, характеризующихся немонотонным изменением упругих параметров с глу-

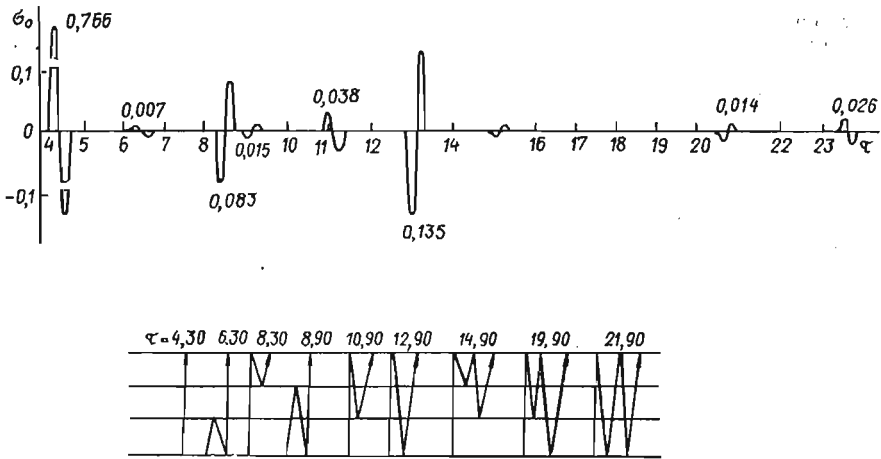


Рис. 5

биной. На рис. 2, 3 приведены значения амплитуд отраженных сигналов для случаев, представленных в таблице. Модели среды при этом выбирались путем изменения параметров основной модели (эталонной) (рис. 1, в) с учетом возможности их сравнения.

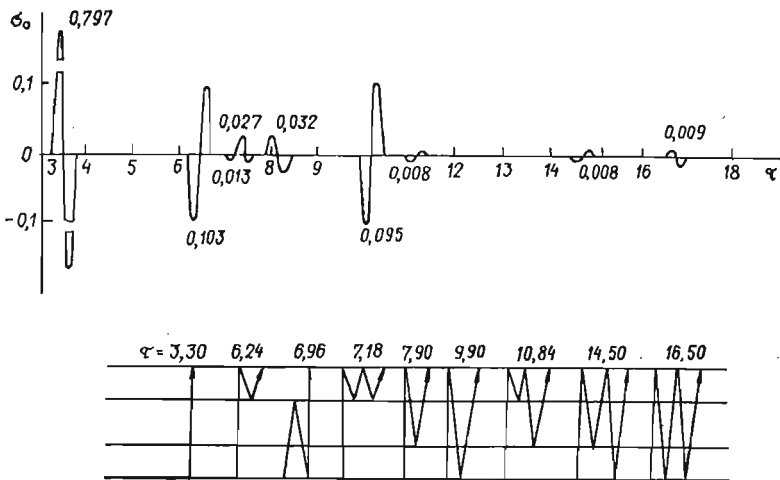


Рис. 6

На рис. 4, а—в, 5 и 6 изображены амплитуды сигналов для случая падения волн из нижней полупространства (амплитуда падающего сигнала равна единице). Сигналы регистрировались на поверхности  $\gamma = 0$ . Параметры моделей на рис. 4, а—в, 5 и 6 такие, как и у моделей рис. 1, а—в, 2 и 3.

1. *Вюншель*. Синтетические сейсмограммы, рассчитанные с учетом многократных отражений и преломлений.— В кн.: Проблемы сейсмической разведки.— М.: Гостоптехиздат, 1962, с. 179—188.
2. *Вавилова Т. И., Пугач А. Д.* Об интенсивности суммарных многократных отраженных волн в трехслойной среде.— В кн.: Вопросы динамической теории распространения сейсмических волн. М.; Л.: Наука, сб. 8, 1966, с. 30—47.
3. *Вавилова Т. И., Петрашень Г. И.* К расчету полей суммарных кратных волн в многослойных средах.— В кн.: Вопросы динамической теории распространения сейсмических волн. М.; Л.: Наука, 1966, сб. 8, с. 48—54.
4. *Петрашень Г. И.* Элементы динамической теории распространения сейсмических волн.— В кн.: Вопросы динамической теории распространения сейсмических волн. Л.: Изд-во ЛГУ, 1959, сб. 3, с. 11—106.

Институт прикладных проблем механики  
и математики АН УССР

Поступила в редколлегию  
19.12.78

УДК 539.3 : 537.22

Б. П. Галапац, Б. М. Гнидец, В. Ф. Кондрат

#### ПЛОСКИЕ ВОЛНЫ В НЕОГРАНИЧЕННОЙ УПРУГОЙ ЭЛЕКТРОПРОВОДНОЙ СРЕДЕ

Учет взаимовлияния процессов различной физической природы может оказать существенное влияние на результаты изучения распространения волн в твердых деформируемых телах. Так, в работах [3, 4] исследовано распространение плоских гармонических волн расширения с учетом взаимодействия процесса упругого деформирования и процесса теплопроводности, что позволило выявить некоторые качественно новые закономерности. Целесообразно также рассмотреть влияние взаимосвязи процессов деформации и электропроводности на распространение плоских гармонических волн в упругих электропроводных и полупроводящих средах исходя из уравнений макроскопических моделей таких сред, предложенных в работе [1].

Пусть в теле в направлении оси  $Ox$  распространяется плоская гармоническая волна с циклической частотой  $\omega$ . В изотермическом случае, которым мы ограничимся, поля перемещений и электрического (электродного) потенциала в пренебрежении пондеромоторными силами определяются из уравнений

$$\left[ 2G + \varepsilon_e \left( K - \frac{2}{3} G \right) \right] \frac{\partial^2 u_1}{\partial x^2} - \beta_* K \frac{\partial \varphi}{\partial x} = \rho \frac{\partial^2 u_1}{\partial \tau^2}, \quad G \frac{\partial^2 u_2}{\partial x^2} = \rho \frac{\partial^2 u_2}{\partial \tau^2}, \quad (1)$$

$$G \frac{\partial^2 u_3}{\partial x^2} = \rho \frac{\partial^2 u_3}{\partial \tau^2}, \quad \lambda \frac{\partial^2 \varphi}{\partial x^2} = \left( \frac{\partial}{\partial \tau} + \frac{\lambda}{\varepsilon} \right) \left( \rho C_* \varphi + \beta_* K \frac{\partial u_1}{\partial x} \right).$$

Здесь  $\vec{u} = (u_1, u_2, u_3)$  — вектор перемещения;  $\varphi$  — отклонение электрического потенциала от его начального значения  $\Phi_0$ ;  $K, G$  — модули всестороннего сжатия и сдвига;  $\rho$  — плотность массы;  $\lambda$  — коэффициент электропроводности;  $\varepsilon$  — диэлектрическая проницаемость;  $\beta_* = \varepsilon \beta$ ;  $\beta$  — электрострикционный коэффициент объемного расширения;  $C_* = \varepsilon_e C$ ;  $C$  — удельная емкость;  $\tau$  — время. Для неферромагнитных электропроводных